

# μ COS-在 ARM上的移植

刘广路 郝红旗

洛阳师范学院计算机系 河南 洛阳 471001)

摘要 本文介绍了 μ COS 的概况和 ARM体系结构中移植工作相关的一些概念 并在此基础上分析了基于 ARM的移植工作。

关键词 μ COS 嵌入式实时操作系统 ;ARM移植

中图分类号 :TP311.54 文献标识码 :A 文章编号 :1009- 3044(2007)05- 11316- 02

μ COS- II ARM7 transplant

LIU Guang- lu,HAO Hong- qi

(Luoyang Teachers College,Luoyang 471001,China)

Abstract:This paper presents a profile of μ COS- II ARM architecture and some of the ideas associated with transplants and on the basis of this analysis based on the ARM transplants

Key words: μ COS- II RTOS;ARM; transplant

## 引言

随着微电子技术、通信技术的发展 嵌入式系统设计及其应用在 90年代对人类生活产生了巨大的影响。随着网络技术的发展 嵌入式技术必将继续改变人们未来的生活方式。在嵌入式研发中 一个重要的基础工作就是实现嵌入式实时操作系统在相关处理器平台上的移植。本文基于目前国内应用非常广泛的 ARM处理器体系结构 对 μ COS- 嵌入式实时操作系统内核的移植作出分析和介绍 并在 LPC2214处理器上得到了实现。

## μ COS-概述

1997年 美国人 Jean J. Labrosse编写了实时多任务内核 μ COS。μ COS 是基于 μ COS- II 二者的内核一样 只是 μ COS- II 提供了更多的功能。经过 10年的发展 μ COS 已被移植到包括 x86 ARM PowerPC MIPS 等多种处理器架构上 移植上的处理器还在不断增加。自 1997年以来已经有数百个商业应用。另外 ,2000年 μ COS- 在一个航空项目中得到了美国联邦航空管理局的认证 该认证表明 μ COS- 具有足够的安全性和稳定性 能够用于与人生命攸关的、安全性条件极为苛刻的系统。

## 3 ARM体系结构编程

ARM精简指令集计算机 (RISC)其设计实现了外形非常小但是性能高的结构。ARM处理器结构简单使 ARM内核非常小 这样使器件的功耗也非常低。下面主要介绍 ARM中与 μ COS- 移植有关的知识。

### 3.1 处理器状态

当 ARM处理器执行 32位的 ARM指令集时 工作在 ARM状态 当 ARM处理器执行 16位的 Thumb指令集时 工作在 Thumb状态。在程序的执行过程中 微处理器可以随时在两种工作状态之间切换 并且 处理器工作状态的转变不影响处理器的工作模式和相应寄存器中的内容。为了最大限度地支持芯片的特性 任务应当可以使用任意一个指令集并可自由切换 而且不同的任何任务应当可以使用不同的指令集 移植的代码已经实现了这一点。

### 3.2 处理器模式

ARM体系结构支持 种处理器模式 用户模式、快速中断模式、外部中断模式、管理模式、数据访问终止模式、系统模式和未定义指令终止模式。除用户模式外 其余的所有 种模式称之为非用户模式 或特权模式。ARM内部寄存器和一些片内外设在硬件设计上只允许 或可选为 特权模式下访问。此外 特权模式可以自由地切换处理器模式 而用户模式不能直接切换到别的模式。

除了用户模式和系统模式外的 种处理器模式称为异常模式 它们是快速中断模式、外部中断模式、管理模式、数据访问终止模式和未定义指令终止模式。它们除了可以通过程序切换进入外 也可以由特定的异常进入。当特定的异常出现时 处理器进入相应的模式。每种模式都有某些附加的寄存器 以避免异常退出时 用户模式的状态不可靠。

至于系统模式除了它是特权模式外 其他与用户模式一样 ,因而可选的给 μ COS- 任务使用的模式只有用户模式和系统模式。为了尽量减少任务代码错误对整个系统的影响 缺省的任务模式定义未用户模式 可选为系统模式 同时提供接口 使任务可以在这两种模式之间切换。

## 3.3 寄存器组织

ARM微处理器共有 32个 32位的寄存器 其中 31个为通用寄存器 ,1个为状态寄存器。但是这些寄存器不能被同时访问 具体哪些寄存器是可编程访问的 取决于微处理器的工作状态及具体的运行模式。但在任何时候 通用寄存器 R14~R15和程序计数器 PC 一个或两个状态寄存器都是可访问的。表 1所示为 ARM状态下 各模式可访问的寄存器。

表 1 ARM状态各模式下的寄存器

| 寄存器类别       | 寄存器中的名称 | 各模式实际访问的寄存器 |          |          |          |          |          |
|-------------|---------|-------------|----------|----------|----------|----------|----------|
|             |         | 用户          | 系统       | 管理       | 中止       | 未定义      | 中断       |
| 通用寄存器和程序计数器 | R0      |             |          |          |          |          |          |
|             | R1      |             |          |          |          |          |          |
|             | R2      |             |          |          |          |          |          |
|             | R3      |             |          |          |          |          |          |
|             | R4      |             |          |          |          |          |          |
|             | R5      |             |          |          |          |          |          |
|             | R6      |             |          |          |          |          |          |
|             | R7      |             |          |          |          |          |          |
|             | R8      |             |          |          |          |          | R8 fiq   |
|             | R9      |             |          |          |          |          | R9 fiq   |
|             | R10     |             |          |          |          |          | R10 fiq  |
|             | R11     |             |          |          |          |          | R11 fiq  |
|             | R12     |             |          |          |          |          | R12 fiq  |
|             | R13     | R13         | R13_svc  | R13_abt  | R13_und  | R13_irq  | R13 fiq  |
|             | R14     | R14         | R14_svc  | R14_abt  | R14_und  | R14_irq  | R14 fiq  |
| R15         |         |             |          |          |          | R15      |          |
| 状态寄存器       | CPSR    |             |          |          |          | CPSR     |          |
|             | SPSR    | 无           | SPSR_svc | SPSR_abt | SPSR_und | SPSR_irq | SPSR_fiq |

## 4 μ COS-的移植

μ COS- 中要移植的部分见表 1-所示。根据 μ COS- 的要求 移植 μ COS- 到一个新的体系机构上需要提供 个或 个文件 :OS\_CPU.H (语言头文件 ) OS\_CPU\_C.C (程序源文件 及 OS\_CPU\_A.ASM(汇编程序源文件。)其中 OS\_CPU\_A.ASM在某些情况下不需要 及其罕见。不需要 OS\_CPU\_A.ASM必须满足以下苛刻条件 :

- ( ) 可以直接使用 语言开关中断 ;
- ( ) 可以直接使用 语言编写中断服务程序 ;
- ( ) 可以直接使用 语言操作堆栈指针 ;
- ( ) 可以直接使用 语言保存 CPU的所有寄存器。

同时支持以上 点的 语言编译器几乎不存在 即使存在 , 移植代码往往也会使用部分汇编语言来提高移植代码的效率。由表 可以看出 移植  $\mu$  COS 需要在 OS\_CPU. 包含几个类型的定义和几个常数的定义 在 OS\_CPU\_C. 和 OS\_CPU\_A.ASM 包含几个函数的定义和时钟节拍中断服务程序的代码。实际上 还有一个 includes 文件需要关注 因为每一个应用都包含独特的 includes 文件。

表 2  $\mu$  COS-需要移植的代码

| 移植内容   | 类型     | 所属文件         | 说明                                 |
|--|--------|--------------|------------------------------------|
| BOOLEAN, INT8U, INT8S, INT16U, INT16S, INT32U, INT32S, FP32, FP64  | 数据类型   | OS_CPU.H     | 与编译器无关的数据类型                        |
| OS_STK   | 数据类型   | OS_CPU.H     | 堆栈的数据类型                            |
| OS_ENTER_CRITICAL() 和 OS_EXIT_CRITICAL()   | 宏      | OS_CPU.H     | 开关中断的代码                            |
| OS_STK_GROWTH  | 常量     | OS_CPU.H     | 定义堆栈的增长方向                          |
| OS_TASK_SW   | 函数     | OS_CPU.H     | 任务切换时执行的代码                         |
| OSTaskStrInit()  | 函数     | OS_CUP_C.C   | 任务堆栈初始化函数                          |
| OSInitHookBegin(), OSInitHookEnd(), OSTaskCreateHook(), OSTaskDelHook(), OSTaskStatHook(), OSTCBInitHook(), OSTimeTickHook(), OSTaskIdleHook() | 函数     | OS_CUP_C.C   | $\mu$ COS-II 在执行某些操作时调用的用户函数, 一般为空 |
| OSStartHighRdy()   | 函数     | OS_CPU_A.ASM | 进入多任务环境时运行优先级最高的任务                 |
| OSIntCtusw()   | 函数     | OS_CPU_A.ASM | 中断退出时的任务切换函数                       |
| OSTickISR()  | 中断服务程序 | OS_CPU_A.ASM | 时钟节拍中断服务程序                         |

根据 Jean J. Labrosse 对  $\mu$  COS 移植的要求 本移植也包括 OS\_CUP.H OS\_CPU\_C 和 OS\_CPU\_A.ASM 三个文件。将 OS\_CUP\_A.ASM 更名为 OS\_CPU\_A.ASM 是遵照 ADS 编译器的惯例。实际上 还有一个文件很重要 就是 IRQ.ir 它定义了一个汇编宏 是  $\mu$  COS 的 ARM 通用的中断服务程序的汇编与函数接口代码。时钟节拍中断服务程序也没有移植 因为其与芯片和应用都强烈相关 , 需要用户自己编写 不过可以通过 IRQ 简化用户代码的编写。

#### 4 编写 OS\_CUP.H

##### 4.1 数据类型定义

数据类型的修改与所使用的编译器相关 不同的编译器使用不同的字节长度表示同一数据类型 比如 int 同样在 x86 台 , GN 的 g 编译器为 4byte 而 MSVC 则为 2byte 根据 ADS 编译器的要求 这些代码定义如下 :

```
typedef unsigned char BOOLEAN;
typedef unsigned char INT8U;
typedef signed char INT8S;
typedef unsigned short INT16U;
typedef signed short INT16S;
typedef unsigned int INT32U;
typedef signed int INT32S;
typedef float FP32;
typedef double FP64;
typedef INT32U OS_STK;
```

##### 4.1 使用软件中断 SWF 底层接口

为了使底层接口函数与处理器状态无关 同时在任务调用相应的函数不需要知道函数的位置 本移植使用软件中断指令 SWI 作为底层接口 使用不同的功能号区分不同的函数。软件中断功能号如表 所示 :

表 3 软件中断功能

| 功能号  | 接口函数                         | 简介                              |
|------|------------------------------|---------------------------------|
| 0x00 | void OS_TASK_SW(void)        | 任务级任务切换                         |
| 0x01 | void OSStartHighRdy(void)    | 运行优先级最高的任务, 由 OSStartHighRdy 产生 |
| 0x02 | void OS_ENTER_CRITICAL(void) | 关中断                             |
| 0x03 | void OS_EXIT_CRITICAL(void)  | 开中断                             |
| 0x80 | void ChangeToSYSMode(void)   | 任务切换到系统模式                       |
| 0x81 | void ChangeToUSRMode(void)   | 任务切换到用户模式                       |
| 0x82 | void TaskIsARM(INT8U prio)   | 任务代码是 ARM 代码                    |
| 0x83 | void TaskIsTHUMB(INT8U prio) | 任务代码是 THUMB 代码                  |

用软件中断作为操作系统的底层接口就需要在 语言中使用 SWI 指令。在 ADS 有一个关键字 \_\_swi 它声明一个不存在的函数 则调用这个函数就在调用这个函数的地方插入一条 SWI 指令 并且可以制定功能号。同时 这个函数也可以有参数和返回值 其传递规则与一般函数一样 其代码如下 :

```
-- swi(0x00) void OS_TASK_SW(void);
-- swi(0x01) void OSStartHighRdy(void);
-- swi(0x02) void OS_ENTER_CRITICAL(void);
-- swi(0x03) void OS_EXIT_CRITICAL(void);
-- swi(0x80) void ChangeToSYSMode(void);
-- swi(0x81) void ChangeToUSRMode(void);
-- swi(0x82) void TaskIsARM(INT8U prio);
-- swi(0x83) void TaskIsTHUMB(INT8U prio);
```

##### 4.1 定义堆栈增长方向

虽然 ARM 处理器可以支持堆栈向上增长 也可以支持堆栈向下增长 但是 ADS 的语言编译器仅支持一种方式 即从上往下增长。所以定义如下 :

```
#define OS_STK_GROWTH 1
```

##### 4 编写 OS\_CPU\_C 文件

本文件要求编写 10 简单的 函数 :

```
OSTaskStkInit();
OSTaskCreateHook();
OSTaskDelHook();
OSTaskSwHook();
OSTaskIdleHook();
OSTaskStatHook();
OSTimeTickHook();
OSInitHookBegin();
OSInitHookEnd();
OSTCBInitHoc();
```

唯一必要的函数是 OSTaskStkInit () 其他 函数必须声明 但是并不一定要包含任何代码。

##### 4.2.1 OSTaskStkInit()

该函数初始化任务的堆栈 而任务的堆栈结构跟 CPU 的体系机构、编译器有密切关系。本移植的堆栈结构如图 所示。根据图示 很容易写出 OSTaskStkInit() 的代码 如程序清单 1\_2

程序清单 1-函数 OSTaskStkInit() 代码

```
OS_STK *OSTaskStkInit (void (*task)(void *pd), void *pdata,
OS_STK *ptos, INT16U opt)
{OS_STK *stk;
opt = opt;
/* ' opt' 没有使用。作用是避免编译器警告 */
stk =ptos; 获取堆栈指针 */
/* 建立任务环境 , ADS1 使用满递减堆栈 */
*stk = (OS_STK) task; /* pc */
*-- stk = (OS_STK) task; /* lr */
*-- stk = 0; /* r12 */
*-- stk = 0; /* r11 */
*-- stk = 0; /* r10 */
*-- stk = 0; /* r9 */
*-- stk = 0; /* r8 */
*-- stk = 0; /* r7 */
*-- stk = 0; /* r6 */
*-- stk = 0; /* r5 */
*-- stk = 0; /* r4 */
*-- stk = 0; /* r3 */
*-- stk = 0; /* r2 */
*-- stk = 0; /* r1 */
*-- stk = (unsigned int) pdata;
/* 每一个参数使用 R 传递 */
*-- stk = (USER_USING_MODE|0x00);
/* 允许 IRQ, FI 中断 */
*-- stk = 0; /* 关中断计数器 OsEnterSum; */
return (stk);}
```

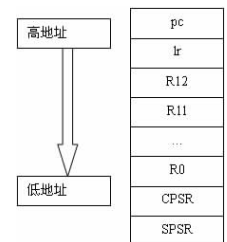


图 1 任务堆栈结构

##### 4.2 软件中断异样 SWI 服务程序 语言部分

分替代或增强。这就要求我们在进行设计开发时要注意开发的  
原则 遵循必要性原则、可行性原则、可控性原则、直观性原则和  
经济性原则。注意真实实验和虚拟实验的“真”“虚”互补 注意实验  
内容的“虚”“实”交替 达到虚中有实 实借助虚 使虚拟实验和真  
实实验在实现实验教学方面相得益彰 优势互补。

#### 4.做到有组织、有规划 融合科研力量 加强交流与合作

虚拟实验从诞生起 因其具有资源共享 信息服务等功能显  
示出其公益性和社会化的属性。虚拟实验室应该是全社会的 应  
该由政府部门统一组织、协调、规划。从中国的国情出发 遵循开  
发原则 选择社会迫切需要的内容 以避免无序开发 重复建设。  
同时 利用现有网络设施 如教育网 汇集全国的科研力量 搭建  
虚拟实验的开发 科研 技术交流的平台。

#### 4.加强技术培训 建立开放的虚拟实验资源库

为了使虚拟实验技术更好的与教育教学实践接轨。正在教育  
一线的教师或者是即将走向教学岗位的师范生是不可忽视的重  
要力量。他们具备着或即将具备教育教学的经验 掌握着教育学、  
心理学的相关知识 熟悉学生的认知心理和现状 进行着教育教  
学实践 并能够直接的获得学生的反馈。他们是虚拟实验的实践  
者 是用户 是推广和普及的传播者 理所当然的也应该是开发虚  
拟实验的直接参与者。对他们 应该进行相关专业知识的学习和  
培训 并建立开放的虚拟实验资源库 以利于教师获取知识、利  
用虚拟实验资源并获取他们在教育教学实践中的反馈。

4.鼓励多技术层面的虚拟实验的开发 创造良好的开发使  
用氛围

从理想的角度出发 虚拟实验应尽可能的模拟真实实验的环

境 让学生自主的进行实验 尽可能的让学生获得真实实验的氛  
围和感受。要达到这样的要求 从技术层面上说 对于普通的教师 即  
便是普通计算机专业教师来说 都是有相当难度的。但从教学应用  
的实际出发 我们应该鼓励教师开发较低技术层次的虚拟实验。比  
如基于 Flash, Authorware 技术的虚拟实验的开发 这对于中  
学所需的大部分实验都是可以胜任的。这样可以弥补中等教育中  
虚拟实验应用的空白 扩大虚拟实验开发应用的范围 毕竟我们现  
在的学生是虚拟实验的使用者 也是今后的开发者和推广者。尽早  
的接触虚拟实验 有助于营造良好的开发使用氛围。

#### 结束语

虚拟实验是信息时代的产物 它在教育、科研等方面有着广  
阔的发展前景 是远程教育的重要组成部分 是教育教学的重要  
资源。对于实现发达地区和欠发达地区的教育资源的共享都有着  
重要作用。应尽快的建设一批符合教学大纲 学科门类齐全 实用  
性高的虚拟实验室 更好地为当前的教育服务。

#### 参考文献 :

- [1] 陶代武 多媒体教学课件制作中虚拟实验的设计 [湖南 :  
计算机时代 , 2003(7).
- [2] 陶秀清 关于虚拟实验室的建设 [福建 福建广播电视大  
学学报 , 2003(1).
- [3] 陶敏 基于 Flash 的虚拟实验室的开发 [四川 长沙大学学  
报 , 2004(2):67- 70.
- [4] 陶亦红 论物理虚拟实验与真实实验的互补作用 [陕西 :  
中国电化教育 , 2004(7):42- 44.

上接第 13 页 )

软件中断的 语言处理函数代码比较简单 函数原型为 void  
SWI\_Exception(int SWI\_Num, int \*reg 参数 SWI\_Num 为功能号 ,  
而 Reg 指向堆栈中保存寄存器的值的位置。程序通过一个  
switch 语句把各个功能分割开 各个功能相对对立。

OS\_ENTER\_CRITICAL() OS\_EXIT\_CRITICAL()  
μ COS- 使用宏 OS\_ENTER\_CRITICAL() OS\_EXIT\_CRI-  
TICAL() 别关中断和开中断。在 ARM 处理器核中关中断和开中断  
时 通过改变程序状态寄存器 CPSR 的相应位来实现。 3. OS-  
StartHighRdy μ COS- 的启动多任务环境的函数是 OSStart () 用  
户在调用 OSStart 之前 必须已经建立了一个或多个任务。 OS-  
Start 最终调用函数 OSStartHighRdy 运行多任务启动前优先级最  
高的任务 , OSStartHighRdy 的代码如下 :

程序清单 1-3 OSStartHighRdy 的代码

```
void OSStartHighRdy(void){  
    _OSStartHighRdy();}
```

4.编写 OS\_CPU\_A.S

4.3 软件中断的汇编接口

该接口即实现了中断功能号、0 同时也把 语言中断联系  
起来。代码如程序清单 1- 所示 :

程序清单 1- 软件中断的汇编部分

```
SoftwareInterrupt  
LDR SP, StackSvc 重新设置堆栈指针  
STMFD SP!, {R0- R3, R12, LR}  
MOV R1, SP ; R 指向参数存储位置  
MRS R3, SPSR  
TST R3, #T_bit 中断前是否是 Thumb 状态  
LDRNEH R0, [LR, #- 2] 是取得 Thumb 状态 S 寄存器  
BICNE R0, R0, #0xff00  
LDREQ R0, [LR, #- 4] 否取得 arm 状态 S 寄存器  
BICEQ R0, R0, #0xff000000  
; r0 = S 寄存器 , R 指向参数存储位置  
CMP R0, #1  
LDRLO PC, =OSntCtxSw  
LDREQ PC, =_OSStartHighRdy
```

; SWI 0x0 为第一次任务切换

```
BL SWI_Exception  
LDMFD SP!, {R0- R3, R12, PC}^
```

#### 4.3.2 OSctxSw()

任务级的上下文切换 当任务被阻塞而主动请求 CPU 调度时  
被执行 由于此时的任务切换在非异常模式下进行 因此有别于  
中断级别的任务切换。它的工作是先将当前的任务的 CPU 现场保  
存到该任务堆栈中。然后获得最高优先级任务的堆栈指针 从该  
堆栈中恢复此任务的 CPU 现场 使之继续执行。这样就完成一次  
任务的切换。

#### 4.3.3 OSntCtxSw()

中断级的任务切换 在时钟中断 ISR 发现有高优先级任务  
等待时钟信号的到来 则在中断退出后并不是返回被中断的任  
务 而是直接调度就绪的高优先级任务执行。从而能够尽快让高  
优先级的任务得到响应 保证系统的实时性能。其基本原理于任  
务的切换相同。但是由于进入中断时已经保存了被中断的 CPU  
现场 因此不用做类似的操作 只需对堆栈指针做相应调整。

#### 4.3 时钟中断服务程序

其主要任务是处理时钟中断。示例代码如下 :

```
void ISR(void)  
{OS_ENTER_CRITICAL();  
清除中断源 ;  
通知中断控制器中断结束 ;  
OS_EXIT_CRITICAL();  
用户处理代码 ;}
```

#### 4 结束

μ COS- 作为一个优秀的实时操作系统已经被移植到许多  
体系结构的处理器上 而 ARM 体系结构在嵌入式领域的应用越  
来越广泛。将 μ COS- 移植到 ARM 平台 不仅可以加深对实时系  
统的理解 同时也是进行产品开发的重要基础。

#### 参考文献 :

- [1] 贝贝译 嵌入式实时操作系统 μ C/COS- II[M].
- [2] 立功编 .ARM 微控制器基础与实践 [M].
- [3] ARM 公司 .ARM Developer Suite version 1.2 Developer Guide

# 嵌入式资源免费下载

## 总线协议:

1. [基于 PCIe 驱动程序的数据传输卡 DMA 传输](#)
2. [基于 PCIe 总线协议的设备驱动开发](#)
3. [CANopen 协议介绍](#)
4. [基于 PXI 总线 RS422 数据通信卡 WDM 驱动程序设计](#)
5. [FPGA 实现 PCIe 总线 DMA 设计](#)
6. [PCI Express 协议实现与验证](#)
7. [VPX 总线技术及其实现](#)
8. [基于 Xilinx FPGA 的 PCIE 接口实现](#)
9. [基于 PCI 总线的 GPS 授时卡设计](#)
10. [基于 CPCI 标准的 6U 信号处理平台的设计](#)
11. [USB30 电路保护](#)
12. [USB30 协议分析与框架设计](#)
13. [USB 30 中的 CRC 校验原理及实现](#)
14. [基于 CPLD 的 UART 设计](#)
15. [IPMI 在 VPX 系统中的应用与设计](#)
16. [基于 CPCI 总线的 PMC 载板设计](#)
17. [基于 VPX 总线的工件台运动控制系统研究与开发](#)
18. [PCI Express 流控机制的研究与实现](#)
19. [UART16C554 的设计](#)
20. [基于 VPX 的高性能计算机设计](#)
21. [基于 CAN 总线技术的嵌入式网关设计](#)
22. [Visual C 串行通讯控件使用方法与技巧的研究](#)
23. [IEEE1588 精密时钟同步关键技术研究](#)
24. [GPS 信号发生器射频模块的一种实现方案](#)
25. [基于 CPCI 接口的视频采集卡的设计](#)
26. [基于 VPX 的 3U 信号处理平台的设计](#)
27. [基于 PCI Express 总线 1394b 网络传输系统 WDM 驱动设计](#)
28. [AT89C52 单片机与 ARINC429 航空总线接口设计](#)
29. [基于 CPCI 总线多 DSP 系统的高速主机接口设计](#)
30. [总线协议中的 CRC 及其在 SATA 通信技术中的应用](#)
31. [基于 FPGA 的 SATA 硬盘加解密控制器设计](#)
32. [Modbus 协议在串口通讯中的研究及应用](#)
33. [高可用的磁盘阵列 Cache 的设计和实现](#)
34. [RAID 阵列中高速 Cache 管理的优化](#)

邀请注册码



关注论坛公众号

35. [一种新的基于 RAID 的 CACHE 技术研究与实现](#)
36. [基于 PCIE-104 总线的高速数据接口设计](#)
37. [基于 VPX 标准的 RapidIO 交换和 Flash 存储模块设计](#)
38. [北斗卫星系统在海洋工程中的应用](#)
39. [北斗卫星系统在远洋船舶上应用的研究](#)
40. [基于 CPCI 总线的红外实时信号处理系统](#)
41. [硬件实现 RAID 与软件实现 RAID 的比较](#)
42. [基于 PCI Express 总线系统的热插拔设计](#)
43. [基于 RAID5 的磁盘阵列 Cache 的研究与实现](#)
44. [基于 PCI 总线的 MPEG2 码流播放卡驱动程序开发](#)
45. [基于磁盘阵列引擎的 RAID5 小写性能优化](#)
46. [基于 IEEE1588 的时钟同步技术研究](#)
47. [基于 Davinci 平台的 SD 卡读写优化](#)
48. [基于 PCI 总线的图像处理及传输系统的设计](#)
49. [串口和以太网通信技术在油液在线监测系统中的应用](#)
50. [USB30 数据传输协议分析及实现](#)
51. [IEEE 1588 协议在工业以太网中的实现](#)
52. [基于 USB30 的设备自定义请求实现方法](#)
53. [IEEE1588 协议在网络测控系统中的应用](#)
54. [USB30 物理层中弹性缓冲的设计与实现](#)
55. [USB30 的高速信息传输瓶颈研究](#)
56. [基于 IPv6 的 UDP 通信的实现](#)
57. [一种基于 IPv6 的流媒体传送方案研究与实现](#)
58. [基于 IPv4-IPv6 双栈的 MODBUS-TCP 协议实现](#)
59. [RS485CAN 网关设计与实现](#)
60. [MVB 周期信息的实时调度](#)
61. [RS485 和 PROFINET 网关设计](#)
62. [基于 IPv6 的 Socket 通信的实现](#)
63. [MVB 网络重复器的设计](#)
64. [一种新型 MVB 通信板的探究](#)
65. [具有 MVB 接口的输入输出设备的分析](#)
66. [基于 STM32 的 GSM 模块综合应用](#)
67. [基于 ARM7 的 MVB CAN 网关设计](#)
68. [机车车辆的 MVB CAN 总线网关设计](#)
69. [智能变电站冗余网络中 IEEE1588 协议的应用](#)
70. [CAN 总线的浅析 CANopen 协议](#)
71. [基于 CANopen 协议实现多电机系统实时控制](#)
72. [以太网时钟同步协议的研究](#)
73. [基于 CANopen 的列车通信网络实现研究](#)
74. [基于 SJA1000 的 CAN 总线智能控制系统设计](#)
75. [基于 CANopen 的运动控制单元的设计](#)
76. [基于 STM32F107VC 的 IEEE 1588 精密时钟同步分析与实现](#)

邀请注册码



关注论坛公众号

77. [分布式控制系统精确时钟同步技术](#)
78. [基于 IEEE 1588 的时钟同步技术在分布式系统中应用](#)
79. [基于 SJA1000 的 CAN 总线通讯模块的实现](#)
80. [嵌入式设备的精确时钟同步技术的研究与实现](#)
81. [基于 SJA1000 的 CAN 网桥设计](#)
82. [基于 CAN 总线分布式温室监控系统的设计与实现](#)
83. [基于 DSP 的 CANopen 通讯协议的实现](#)
84. [基于 PCI9656 控制芯片的高速网卡 DMA 设计](#)
85. [基于以太网及串口的数据采集模块设计](#)
86. [MVB1 类设备控制器的 FPGA 设计](#)
87. [MVB 接口彩色液晶显示诊断单元的显示应用软件设计](#)
88. [IPv6 新型套接字的网络编程剖析](#)
89. [基于规则的 IPv4 源程序到 IPv6 源程序的移植方法](#)
90. [MVB 网络接口单元的 SOC 解决方案](#)
91. [基于 IPSec 协议的 IPv6 安全研究](#)
92. [具有 VME 总线的车载安全计算机 MVB 通信板卡](#)
93. [SD 卡的传输协议和读写程序](#)
94. [基于 SCTP 的 TLS 应用](#)
95. [基于 IPv6 的静态路由实验设计](#)
96. [基于 MVB 的地铁列车司机显示系统研究](#)
97. [基于参数优化批处理的 TLS 协议](#)
98. [SSD 数据结构与算法综述](#)
99. [大容量 NAND Flash 文件系统中的地址映射算法研究](#)
100. [基于 MVB 总线的动车组门控系统的设计与仿真研究](#)

邀请注册码



关注论坛公众号

## VxWorks:

1. [基于 VxWorks 的多任务程序设计](#)
2. [基于 VxWorks 的数据采集存储装置设计](#)
3. [Flash 文件系统分析及其在 VxWorks 中的实现](#)
4. [VxWorks 多任务编程中的异常研究](#)
5. [VxWorks 应用技巧两例](#)
6. [一种基于 VxWorks 的飞行仿真实时管理系统](#)
7. [在 VxWorks 系统中使用 TrueType 字库](#)
8. [基于 FreeType 的 VxWorks 中文显示方案](#)
9. [基于 Tilcon 的 VxWorks 简单动画开发](#)
10. [基于 Tilcon 的某武器显控系统界面设计](#)
11. [基于 Tilcon 的综合导航信息处理装置界面设计](#)

12. [VxWorks 的内存配置和管理](#)
13. [基于 VxWorks 系统的 PCI 配置与应用](#)
14. [基于 MPC8270 的 VxWorks BSP 的移植](#)
15. [Bootrom 功能改进经验谈](#)
16. [基于 VxWorks 嵌入式系统的中文平台研究与实现](#)
17. [VxBus 的 A429 接口驱动](#)
18. [基于 VxBus 和 MPC8569E 千兆网驱动开发和实现](#)
19. [一种基于 vxBus 的 PPC 与 FPGA 高速互联的驱动设计方法](#)
20. [基于 VxBus 的设备驱动开发](#)
21. [基于 VxBus 的驱动程序架构分析](#)
22. [基于 VxBus 的高速数据采集卡驱动程序开发](#)
23. [Vxworks 下的冗余 CAN 通讯模块设计](#)
24. [WindML 工业平台下开发 S1d13506 驱动及显示功能的实现](#)
25. [WindML 中 Mesa 的应用](#)
26. [VxWorks 下图形用户界面开发中双缓冲技术应用](#)
27. [VxWorks 上的一种 GUI 系统的设计与实现](#)
28. [VxWorks 环境下 socket 的实现](#)
29. [VxWorks 的 WindML 图形界面程序的框架分析](#)
30. [VxWorks 实时操作系统及其在 PC104 下以太网编程的应用](#)
31. [实时操作系统任务调度策略的研究与设计](#)
32. [军事指挥系统中 VxWorks 下汉字显示技术](#)
33. [基于 VxWorks 实时控制系统中文交互界面开发平台](#)
34. [基于 VxWorks 操作系统的 WindML 图形操控界面实现方法](#)
35. [基于 GPU FPGA 芯片原型的 VxWorks 下驱动软件开发](#)
36. [VxWorks 下的多串口卡设计](#)
37. [VxWorks 内存管理机制的研究](#)
38. [T9 输入法在 Tilcon 下的实现](#)
39. [基于 VxWorks 的 WindML 图形界面开发方法](#)
40. [基于 Tilcon 的 IO 控制板可视化测试软件的设计和实现](#)
41. [基于 VxWorks 的通信服务器实时多任务软件设计](#)
42. [基于 VXWORKS 的 RS485MVB 网关的设计与实现](#)
43. [实时操作系统 VxWorks 在微机保护中的应用](#)
44. [基于 VxWorks 的多任务程序设计及通信管理](#)
45. [基于 Tilcon 的 VxWorks 图形界面开发技术](#)
46. [嵌入式图形系统 Tilcon 及应用研究](#)
47. [基于 VxWorks 的数据采集与重演软件的图形界面的设计与实现](#)
48. [基于嵌入式的 Tilcon 用户图形界面设计与开发](#)
49. [基于 Tilcon 的交互式多页面的设计](#)
50. [基于 Tilcon 的嵌入式系统人机界面开发技术](#)
51. [基于 Tilcon 的指控系统多任务人机交互软件设计](#)
52. [基于 Tilcon 航海标绘台界面设计](#)
53. [基于 Tornado 和 Tilcon 的嵌入式 GIS 图形编辑软件的开发](#)

邀请注册码



关注论坛公众号

54. [VxWorks 环境下内存文件系统的应用](#)
55. [VxWorks 下的多重定时器设计](#)
56. [Freescale 的 MPC8641D 的 VxWorks BSP](#)
57. [VxWorks 实验五\[时间片轮转调度\]](#)
58. [解决 VmWare 下下载大型工程.out 出现 WTX Error 0x100de 的问题](#)
59. [基于 VxWorks 系统的 MiniGUI 图形界面开发](#)
60. [VxWorks BSP 开发中的 PCI 配置方法](#)
61. [VxWorks 在 S3C2410 上的 BSP 设计](#)
62. [VxWorks 操作系统中 PCI 总线驱动程序的设计与实现](#)
63. [VxWorks 概述](#)
64. [基于 AT91RM9200 的 VxWorks END 网络驱动开发](#)
65. [基于 EBD9200 的 VxWorks BSP 设计和实现](#)
66. [基于 VxWorks 的 BSP 技术分析](#)
67. [ARM LPC2210 的 VxWorks BSP 源码](#)
68. [基于 LPC2210 的 VxWorks BSP 移植](#)
69. [基于 VxWorks 平台的 SCTP 协议软件设计实现](#)
70. [VxWorks 快速启动的实现方法\[上电到应用程序 1 秒\]](#)

## Linux:

1. [Linux 程序设计第三版及源代码](#)
2. [NAND FLASH 文件系统的设计与实现](#)
3. [多通道串行通信设备的 Linux 驱动程序实现](#)
4. [Zsh 开发指南-数组](#)
5. [常用 GDB 命令中文速览](#)
6. [嵌入式 C 进阶之道](#)
7. [Linux 串口编程实例](#)
8. [基于 Yocto Project 的嵌入式应用设计](#)
9. [Android 应用的反编译](#)
10. [基于 Android 行为的加密应用系统研究](#)
11. [嵌入式 Linux 系统移植步步通](#)
12. [嵌入式 C++语言精华文章集锦](#)
13. [基于 Linux 的高性能服务器端的设计与研究](#)
14. [S3C6410 移植 Android 内核](#)
15. [Android 开发指南中文版](#)
16. [图解 Linux 操作系统架构设计与实现原理（第二版）](#)
17. [如何在 Ubuntu 和 Linux Mint 下轻松升级 Linux 内核](#)
18. [Android 简单 mp3 播放器源码](#)
19. [嵌入式 Linux 系统实时性的研究](#)

邀请注册码



关注论坛公众号



20. [Android 嵌入式系统架构及内核浅析](#)
21. [基于嵌入式 Linux 操作系统内核实时性的改进方法研究](#)
22. [Linux TCP IP 协议详解](#)
23. [Linux 桌面环境下内存去重技术的研究与实现](#)
24. [掌握 Android 7.0 新增特性 Quick Settings](#)
25. [Android 应用逆向分析方法研究](#)
26. [Android 操作系统的课程教学](#)
27. [Android 智能手机操作系统的研究](#)
28. [Android 英文朗读功能的实现](#)
29. [基于 Yocto 订制嵌入式 Linux 发行版](#)
30. [基于嵌入式 Linux 的网络设备驱动设计与实现](#)
31. [如何高效学习嵌入式](#)
32. [基于 Android 平台的 GPS 定位系统的设计与实现](#)
33. [LINUX ARM 下的 USB 驱动开发](#)
34. [Linux 下基于 I2C 协议的 RTC 驱动开发](#)
35. [嵌入式下 Linux 系统设备驱动程序的开发](#)
36. [基于嵌入式 Linux 的 SD 卡驱动程序的设计与实现](#)
37. [Linux 系统中进程调度策略](#)
38. [嵌入式 Linux 实时性方法](#)
39. [基于实时 Linux 计算机联锁系统实时性分析与改进](#)
40. [基于嵌入式 Linux 下的 USB30 驱动程序开发方法研究](#)
41. [Android 手机应用开发之音乐资源播放器](#)
42. [Linux 下以太网的 IPv6 隧道技术的实现](#)
43. [Research and design of mobile learning platform based on Android](#)
44. [基于 linux 和 Qt 的串口通信调试器调的设计及应用](#)
45. [在 Linux 平台上基于 QT 的动态图像采集系统的设计](#)
46. [基于 Android 平台的医护查房系统的研究与设计](#)
47. [基于 Android 平台的软件自动化监控工具的设计开发](#)
48. [基于 Android 的视频软硬解码及渲染的对比研究与实现](#)
49. [基于 Android 移动设备的加速度传感器技术研究](#)
50. [基于 Android 系统振动测试仪研究](#)
51. [基于缓存竞争优化的 Linux 进程调度策略](#)
52. [Linux 基于 W83697 和 W83977 的 UART 串口驱动开发文档](#)
53. [基于 AT91RM9200 的嵌入式 Linux 系统的移植与实现](#)
54. [路由信息协议在 Linux 平台上的实现](#)
55. [Linux 下 IPv6 高级路由器的实现](#)
56. [基于 Android 平台的嵌入式视频监控系统设计](#)

邀请注册码



关注论坛公众号

Windows CE:

WeChat ID: kontronn

1. [Windows CE.NET 下 YAFFS 文件系统 NAND Flash 驱动程序设计](#)
2. [Windows CE 的 CAN 总线驱动程序设计](#)
3. [基于 Windows CE.NET 的 ADC 驱动程序实现与应用的研究](#)
4. [基于 Windows CE.NET 平台的串行通信实现](#)
5. [基于 Windows CE.NET 下的 GPRS 模块的研究与开发](#)
6. [win2k 下 NTFS 分区用 ntldr 加载进 dos 源代码](#)
7. [Windows 下的 USB 设备驱动程序开发](#)
8. [WinCE 的大容量程控数据传输解决方案设计](#)
9. [WinCE6.0 安装开发详解](#)
10. [DOS 下仿 Windows 的自带计算器程序 C 源码](#)
11. [G726 局域网语音通话程序和源代码](#)
12. [WinCE 主板加载第三方驱动程序的方法](#)
13. [WinCE 下的注册表编辑程序和源代码](#)
14. [WinCE 串口通信源代码](#)
15. [WINCE 的 SD 卡程序\[可实现读写的源码\]](#)
16. [基于 WinCE 的 BootLoader 研究](#)
17. [Windows CE 环境下无线网卡的自动安装](#)
18. [基于 Windows CE 的可视电话的研究与实现](#)
19. [基于 WinCE 的嵌入式图像采集系统设计](#)
20. [基于 ARM 与 WinCE 的掌纹鉴别系统](#)
21. [DCOM 协议在网络冗余环境下的应用](#)
22. [Windows XP Embedded 在变电站通信管理机中的应用](#)
23. [XPE 在多功能显控台上的开发与应用](#)
24. [基于 Windows XP Embedded 的 LKJ2000 仿真系统设计与实现](#)
25. [虚拟仪器的 Windows XP Embedded 操作系统开发](#)
26. [基于 EVC 的嵌入式导航电子地图设计](#)
27. [基于 XPEmbedded 的警务区 SMS 指挥平台的设计与实现](#)
28. [基于 XPE 的数字残币兑换工具开发](#)
29. [Windows CENET 下 ADC 驱动开发设计](#)
30. [Windows CE 下 USB 设备流驱动开发与设计](#)
31. [Windows 驱动程序设计](#)
32. [基于 Windows CE 的 GPS 应用](#)
33. [基于 Windows CE 下大像素图像分块显示算法的研究](#)
34. [基于 Windows CE 的数控软件开发与实现](#)
35. [NAND FLASH 在 WINCENET 系统中的应用设计](#)

邀请注册码



关注论坛公众号

PowerPC:

WeChat ID: kontronn

1. [Freescale MPC8536 开发板原理图](#)
2. [基于 MPC8548E 的固件设计](#)
3. [基于 MPC8548E 的嵌入式数据处理系统设计](#)
4. [基于 PowerPC 嵌入式网络通信平台的实现](#)
5. [PowerPC 在车辆显控系统中的应用](#)
6. [基于 PowerPC 的单板计算机的设计](#)
7. [用 PowerPC860 实现 FPGA 配置](#)
8. [基于 MPC8247 嵌入式电力交换系统的设计与实现](#)
9. [基于设备树的 MPC8247 嵌入式 Linux 系统开发](#)
10. [基于 MPC8313E 嵌入式系统 UBoot 的移植](#)
11. [基于 PowerPC 处理器 SMP 系统的 UBoot 移植](#)
12. [基于 PowerPC 双核处理器嵌入式系统 UBoot 移植](#)
13. [基于 PowerPC 的雷达通用处理机设计](#)
14. [PowerPC 平台引导加载程序的移植](#)
15. [基于 PowerPC 嵌入式内核的多串口通信扩展设计](#)
16. [基于 PowerPC 的多网口系统抗干扰设计](#)
17. [基于 MPC860T 与 VxWorks 的图形界面设计](#)
18. [基于 MPC8260 处理器的 PPMC 系统](#)
19. [基于 PowerPC 的控制器研究与设计](#)
20. [基于 PowerPC 的模拟量输入接口扩展](#)
21. [基于 PowerPC 的车载通信系统设计](#)
22. [基于 PowerPC 的嵌入式系统中通用 IO 口的扩展方法](#)
23. [基于 PowerPC440GP 型微控制器的嵌入式系统设计与研究](#)
24. [基于双 PowerPC 7447A 处理器的嵌入式系统硬件设计](#)
25. [基于 PowerPC603e 通用处理模块的设计与实现](#)
26. [嵌入式微机 MPC555 驻留片内监控器的开发与实现](#)
27. [基于 PowerPC 和 DSP 的电能质量在线监测装置的研制](#)
28. [基于 PowerPC 架构多核处理器嵌入式系统硬件设计](#)
29. [基于 PowerPC 的多屏系统设计](#)
30. [基于 PowerPC 的嵌入式 SMP 系统设计](#)
31. [基于 MPC850 的多功能通信管理器](#)
32. [基于 MPC8640D 处理系统的技术研究](#)
33. [基于双核 MPC8641D 处理器的计算机模块设计](#)
34. [基于 MPC8641D 处理器的对称多处理技术研究](#)

邀请注册码



关注论坛公众号

ARM:

1. [基于 DiskOnChip 2000 的驱动程序设计及应用](#)
2. [基于 ARM 体系的 PC-104 总线设计](#)
3. [基于 ARM 的嵌入式系统中断处理机制研究](#)
4. [设计 ARM 的中断处理](#)
5. [基于 ARM 的数据采集系统并行总线的驱动设计](#)
6. [S3C2410 下的 TFT LCD 驱动源码](#)
7. [STM32 SD 卡移植 FATFS 文件系统源码](#)
8. [STM32 ADC 多通道源码](#)
9. [ARM Linux 在 EP7312 上的移植](#)
10. [ARM 经典 300 问](#)
11. [基于 S5PV210 的频谱监测设备嵌入式系统设计与实现](#)
12. [Uboot 中 start.S 源码的指令级的详尽解析](#)
13. [基于 ARM9 的嵌入式 Zigbee 网关设计与实现](#)
14. [基于 S3C6410 处理器的嵌入式 Linux 系统移植](#)
15. [CortexA8 平台的  \$\mu\$ C-OS II 及 LwIP 协议栈的移植与实现](#)
16. [基于 ARM 的嵌入式 Linux 无线网卡设备驱动设计](#)
17. [ARM S3C2440 Linux ADC 驱动](#)
18. [ARM S3C2440 Linux 触摸屏驱动](#)
19. [Linux 和 Cortex-A8 的视频处理及数字微波传输系统设计](#)
20. [Nand Flash 启动模式下的 Uboot 移植](#)
21. [基于 ARM 处理器的 UART 设计](#)
22. [ARM CortexM3 处理器故障的分析与处理](#)
23. [ARM 微处理器启动和调试浅析](#)
24. [基于 ARM 系统下映像文件的执行与中断运行机制的实现](#)
25. [中断调用方式的 ARM 二次开发接口设计](#)
26. [ARM11 嵌入式系统 Linux 下 LCD 的驱动设计](#)
27. [Uboot 在 S3C2440 上的移植](#)
28. [基于 ARM11 的嵌入式无线视频终端的设计](#)
29. [基于 S3C6410 的 Uboot 分析与移植](#)
30. [基于 ARM 嵌入式系统的高保真无损音乐播放器设计](#)
31. [UBoot 在 Mini6410 上的移植](#)
32. [基于 ARM11 的嵌入式 Linux NAND FLASH 模拟 U 盘挂载分析与实现](#)
33. [基于 ARM11 的电源完整性分析](#)
34. [基于 ARM S3C6410 的 uboot 分析与移植](#)
35. [基于 S5PC100 移动视频监控终端的设计与实现](#)
36. [UBoot 在 AT91RM9200 上的移植简析](#)
37. [基于工控级 AT91RM9200 开发板的 UBoot 移植分析](#)
38. [基于 ARM11 和 Zigbee 的人员定位防丢器](#)
39. [基于 NAND FLASH 的嵌入式系统启动速度的研究](#)

邀请注册码



关注论坛公众号

## Hardware:

1. [DSP 电源的典型设计](#)
2. [高频脉冲电源设计](#)
3. [电源的综合保护设计](#)
4. [任意波形电源的设计](#)
5. [高速 PCB 信号完整性分析及应用](#)
6. [DM642 高速图像采集系统的电磁干扰设计](#)
7. [使用 COMExpress Nano 工控板实现 IP 调度设备](#)
8. [基于 COM Express 架构的数据记录仪的设计与实现](#)
9. [基于 COM Express 的信号系统逻辑运算单元设计](#)
10. [基于 COM Express 的回波预处理模块设计](#)
11. [基于 X86 平台的简单多任务内核的分析与实现](#)
12. [基于 UEFI Shell 的 PreOS Application 的开发与研究](#)
13. [基于 UEFI 固件的恶意代码防范技术研究](#)
14. [MIPS 架构计算机平台的支持固件研究](#)
15. [基于 UEFI 固件的攻击验证技术研究](#)
16. [基于 UEFI 的 Application 和 Driver 的分析与开发](#)
17. [基于 UEFI 的可信 BIOS 研究与实现](#)
18. [基于 UEFI 的国产计算机平台 BIOS 研究](#)
19. [基于 UEFI 的安全模块设计分析](#)
20. [基于 FPGA Nios II 的等精度频率计设计](#)
21. [基于 FPGA 的 SOPC 设计](#)
22. [基于 SOPC 基本信号产生器的设计与实现](#)
23. [基于龙芯平台的 PMON 研究与开发](#)
24. [基于 X86 平台的嵌入式 BIOS 可配置设计](#)
25. [基于龙芯 2F 架构的 PMON 分析与优化](#)
26. [CPU 与 GPU 之间接口电路的设计与实现](#)
27. [基于龙芯 1A 平台的 PMON 源码编译和启动分析](#)
28. [基于 PC104 工控机的嵌入式直流监控装置的设计](#)
29. [GPGPU 技术研究与发展](#)
30. [GPU 实现的高速 FIR 数字滤波算法](#)
31. [一种基于 CPUGPU 异构计算的混合编程模型](#)
32. [面向 OpenCL 模型的 GPU 性能优化](#)
33. [基于 GPU 的 FDTD 算法](#)
34. [基于 GPU 的瑕疵检测](#)
35. [基于 GPU 通用计算的分析与研究](#)
36. [面向 OpenCL 架构的 GPGPU 量化性能模型](#)
37. [基于 OpenCL 的图像积分图算法优化研究](#)
38. [基于 OpenCL 的均值平移算法在多个众核平台的性能优化研究](#)

邀请注册码



关注论坛公众号

39. [基于 OpenCL 的异构系统并行编程](#)
40. [嵌入式系统中热备份双机切换技术研究](#)
41. [EFI-Tiano 环境下的 AES 算法应用模型](#)
42. [EFI 及其安全性研究](#)
43. [基于 UEFI Shell 的 PreOS Application 的开发与研究](#)
44. [UEFI Bootkit 模型与分析](#)
45. [UEFI 计算机系统快速调试方法的实现](#)

## Programming:

1. [计算机软件基础数据结构 - 算法](#)
2. [高级数据结构对算法的优化](#)
3. [零基础学算法](#)
4. [Linux 环境下基于 TCP 的 Socket 编程浅析](#)
5. [Linux 环境下基于 UDP 的 socket 编程浅析](#)
6. [基于 Socket 的网络编程技术及其实现](#)
7. [数据结构考题 - 第 1 章 绪论](#)
8. [数据结构考题 - 第 2 章 线性表](#)
9. [数据结构考题 - 第 2 章 线性表 - 答案](#)
10. [基于小波变换与偏微分方程的图像分解及边缘检测](#)
11. [基于图像能量的布匹瑕疵检测方法](#)
12. [基于 OpenCL 的拉普拉斯图像增强算法优化研究](#)
13. [异构平台上基于 OpenCL 的 FFT 实现与优化](#)
14. [数据结构考题 - 第 4 章 串](#)
15. [数据结构考题 - 第 4 章 串答案](#)
16. [用 IPv6 编程接口实现有连接通信的方法](#)

邀请注册码



关注论坛公众号

## FPGA / CPLD:

1. [一种基于并行处理器的快速车道线检测系统及 FPGA 实现](#)
2. [基于 FPGA 和 DSP 的 DBF 实现](#)
3. [高速浮点运算单元的 FPGA 实现](#)
4. [DLMS 算法的脉动阵结构设计及 FPGA 实现](#)
5. [一种基于 FPGA 的 3DES 加密算法实现](#)
6. [可编程 FIR 滤波器的 FPGA 实现](#)
7. [基于 FPGA 的 AES 加密算法的高速实现](#)

8. [基于 FPGA 的精确时钟同步方法](#)
9. [应用分布式算法在 FPGA 平台实现 FIR 低通滤波器](#)
10. [流水线技术在用 FPGA 实现高速 DSP 运算中的应用](#)
11. [基于 FPGA 的 CAN 总线通信节点设计](#)
12. [基于 FPGA 的高速时钟数据恢复电路的实现](#)
13. [基于 FPGA 的高阶高速 FIR 滤波器设计与实现](#)
14. [基于 FPGA 高效实现 FIR 滤波器的研究](#)
15. [FPGA 的 VHDL 设计策略](#)
16. [用 FPGA 实现串口通信的设计](#)
17. [GPIB 接口的 FPGA 实现](#)
18. [一种基于 FPGA 的 FFT 阵列处理器](#)
19. [基于 FPGA 的 FFT 信号处理器的硬件实现](#)

邀请注册码



关注论坛公众号